

УДК 539.3:534.1

НЕЛИНЕЙНЫЕ КОЛЕБАНИЯ ОБОЛОЧЕК ВРАЩЕНИЯ  
С СОСРЕДОТОЧЕННЫМИ МАССАМИ

А. И. ЛИХОДЕД

(Москва)

Исследуются нелинейные колебания и устойчивость ортотропных оболочек вращения с включениями типа сосредоточенных масс. Задача рассматривается в геометрически нелинейной постановке.

Для получения уравнений движения используется вариационный принцип Лагранжа в сочетании с методом Ритца. В качестве базисных функций для задачи о вынужденных нелинейных колебаниях используются собственные функции соответствующей линейной задачи. Построена схема расчета, позволяющая унифицировать получение блоков коэффициентов разрешающих уравнений для оболочек с сосредоточенными включениями, избегая при этом трудоемких вычислений.

Задача о собственных колебаниях оболочек с сосредоточенными включениями рассматривалась в [1]. Здесь предлагается видоизменение указанной задачи, позволяющее упростить использование собственных функций для задачи о вынужденных колебаниях.

1. Представим нормальное и тангенциальные перемещения оболочки в виде

$$u^{(k)} = \sum_{i=1}^N C_i Y_i^{(k)} \quad (N=N_1+N_2+N_3) \quad (k=1, 2, 3) \quad (1.1)$$

$$Y_i^{(1)} = X_i^{(1)} \quad (1 \leq i \leq N_2), \quad Y_i^{(2)} = X_i^{(2)} \quad (N_1+1 \leq i \leq N_1+N_2)$$

$$Y_i^{(3)} = X_i^{(3)} \quad (N_1+N_2+1 \leq i \leq N)$$

В остальных случаях  $Y_i^{(k)} = 0$ . Здесь  $C_i$  — обобщенные координаты задачи о собственных колебаниях;  $N_1$ ,  $N_2$  и  $N_3$  — количество обобщенных координат, соответствующее меридиональному, кольцевому и нормальному перемещениям,  $Y_i^{(k)}$  — базисные функции. Такое представление перемещений позволяет перестроить три последовательности обобщенных координат для соответствующих компонент перемещений в одну последовательность  $C_i$  и унифицировать выражения для относительных деформаций.

С учетом (1.1) относительные деформации примут вид

$$\dot{e}_p = \sum_{i=1}^N C_i \Phi_{pi} \quad (p=1, 2, \dots, 6) \quad (1.2)$$

Здесь  $\Phi_{pi}$  выражаются через базисные функции  $\Phi_{pi} = \Phi_{pi}(Y_i^{(1)}, Y_i^{(2)}, Y_i^{(3)})$  (функции  $\Phi_{pi}$  приведены в [1]).

Представим потенциальную энергию ортотропной оболочки [2] в виде

$$\Pi = \int \sum_{p,q=1}^6 a_{pq} e_p e_q dS \quad (1.3)$$

$$\begin{aligned} a_{11} &= \frac{1}{2}, \quad a_{12} = v_1 E_2 / E_1, \quad a_{22} = E_2 / 2E_1, \quad a_{33} = E_3 / 2E_1 (1 - v_1 v_2) \\ a_{44} &= h^2 / 24, \quad a_{45} = \frac{1}{12} h^2 a_{12}, \quad a_{55} = \frac{1}{12} h^2 a_{22}, \quad a_{66} = \frac{1}{3} h^2 a_{33} \end{aligned}$$

Остальные коэффициенты  $a_{ij}$  равны нулю ( $E_1, E_2, E_3, v_1, v_2$  — механические характеристики материала оболочки,  $h$  и  $S$  — толщина и поверхность оболочки).

Используя метод Ритца, с учетом (1.2) и (1.3) получаем характеристическую систему для определения частот и форм колебания

$$\sum_{i=1}^N C_i (\varphi_{ij} - \lambda^2 \psi_{ij}) = 0, \quad \lambda^2 = \frac{\omega^2 \rho R^2 (1 - v_1 v_2)}{E} \quad (j=1, 2, \dots, N) \quad (1.4)$$

В случае гладкой ортотропной оболочки коэффициенты системы (1.4) имеют вид

$$\psi_{ij} = \int_S \sum_{p,q=1}^6 b_{pq} \Phi_{pj} \Phi_{qi} dS, \quad b_{pq} = a_{pq} + a_{qp}, \quad \psi_{ij} = \psi_{ij}^{(1)} = \frac{1}{R^2} \int_S \sum_{k=1}^3 Y_i^{(k)} Y_j^{(k)} dS \quad (1.5)$$

При наличии связанных с оболочкой  $N_0$  сосредоточенных масс  $M^{(n)}$  с координатами  $z^{(n)}$  коэффициенты системы  $\varphi_{ij}$  не изменяются, а к коэффициентам системы  $\psi_{ij}$  добавляются слагаемые  $\psi_{ij} = \psi_{ij}^{(1)} + \psi_{ij}^{(2)}$ , где

$$\psi_{ij}^{(2)} = \sum_{n=1}^{N_0} \frac{M^{(n)}}{\rho h R^2} \sum_{k=1}^3 Y_i^{(k)}(z^{(n)}) Y_j^{(k)}(z^{(n)})$$

$\rho$  — плотность материала оболочки,  $R$  — характерный размер.

Введение унифицированных представлений для перемещений (1.1) и деформаций (1.2), а также использование потенциальной энергии в виде (1.3) позволило получить коэффициенты характеристической системы (1.4) в компактной форме, удобной для численной реализации на ЭВМ. Следует отметить, что при указанном здесь подходе введение в оболочечную конструкцию дополнительных элементов (подкреплений, осцилляторов и т. п.) не приводит к существенному усложнению расчета коэффициентов характеристической системы.

2. Рассмотрим нелинейные колебания ортотропной оболочки вращения с сосредоточенными массами. Оболочка может обладать начальной погибью. Для получения уравнений движения воспользуемся вариационным принципом Лагранжа.

$$\delta \Pi = \delta \Pi_1 + \delta \Pi_2 + \delta \Pi_3 \quad (2.1)$$

где  $\Pi$  — потенциальная энергия системы,  $\Pi_1, \Pi_2$  и  $\Pi_3$  — работа инерционных, диссипативных и внешних сил соответственно.

Будем искать полные перемещения оболочки (включающие начальную погибь) в виде разложения по собственным формам колебания соответствующей линейной задачи (п. 1)

$$v^{(k)} = \sum_{i=1}^N T_i u_i^{(k)} \quad (k=1, 2, 3) \quad (2.2)$$

Здесь  $T_i$  — обобщенные координаты;  $u_i^{(1)}, u_i^{(2)}, u_i^{(3)}$  — меридиональное, окружное и нормальное перемещения  $i$ -го тона колебаний оболочки.

Представим относительные деформации с учетом нелинейных членов нормального перемещения [³] и начальной погибы в нормальном направлении  $w_0$  в следующем унифицированном виде:

$$e_p^* = \sum_{i=1}^N T_i e_{pi} + \sum_{\substack{i_1 i_2 \\ i_1 i_2 = 1}}^N T_{i_1} T_{i_2} \Pi_{i_1 i_2}^{(p)} + f_p \quad (p=1, 2, 3 \dots 6) \quad (2.3)$$

где  $e_{pi} = e_{pi}(u_i^{(1)}, u_i^{(2)}, u_i^{(3)})$  линейные деформации  $i$ -го тона колебаний, получаемые из формул для относительных деформаций [²] путем подстановки в них перемещений  $i$ -го тона колебаний.

Коэффициенты  $\Pi_{i_1 i_2}^{(p)}$  порождаются нелинейными членами и представляются в следующей форме:

$$\begin{aligned} \Pi_{i_1 i_2}^{(1)} &= \frac{1}{2A_1^2} \frac{\partial u_{i_1}^{(3)}}{\partial \alpha_1} \frac{\partial u_{i_2}^{(3)}}{\partial \alpha_1}, & \Pi_{i_1 i_2}^{(2)} &= \frac{1}{2A_2^2} \frac{\partial u_{i_1}^{(3)}}{\partial \alpha_2} \frac{\partial u_{i_2}^{(3)}}{\partial \alpha_2} \\ \Pi_{i_1 i_2}^{(3)} &= \frac{1}{A_1 A_2} \frac{\partial u_{i_1}^{(3)}}{\partial \alpha_1} \frac{\partial u_{i_2}^{(3)}}{\partial \alpha_2}, & \Pi_{i_1 i_2}^{(p)} &= 0 \quad (p=4, 5, 6) \end{aligned} \quad (2.4)$$

Функции  $f_p$ , определяемые начальной погибью  $w_0$ , имеют вид

$$\begin{aligned} f_1 &= \frac{w_0}{R_1} - \frac{1}{2A_1^2} \left( \frac{\partial w_0}{\partial \alpha_1} \right)^2, & f_2 &= \frac{w_0}{R_2} - \frac{1}{2A_2^2} \left( \frac{\partial w_0}{\partial \alpha_2} \right)^2 \\ f_3 &= -\frac{1}{A_1 A_2} \frac{\partial w_0}{\partial \alpha_1} \frac{\partial w_0}{\partial \alpha_2}, & f_p &= 0 \quad (p=4, 5, 6) \end{aligned} \quad (2.5)$$

В (2.4) и (2.5)  $A_1, A_2, R_1, R_2$  — параметры Ляме и радиусы кривизны оболочки.

Представляя потенциальную энергию, как и в случае задачи о собственных колебаниях, в виде квадратичной формы (1.3) и выполняя варьирование, будем иметь

$$\delta \Pi = \gamma \sum_{j=1}^N \left[ \frac{\omega_j^2}{\gamma} m_j T_j + W_j(T_1, \dots, T_N) + L_j^{(1)} + \sum_{i=1}^N L_{ji}^{(2)} T_i \right] \delta T_j \quad (2.6)$$

Здесь  $\gamma = E_1 h / (1 - \nu_1 \nu_2)$ ,  $\omega_j$  и  $m_j$  — частота и приведенная масса  $j$ -го тона колебаний оболочки с массой. Через  $W_j$  обозначены нелинейные члены

$$W_j(T_1, \dots, T_N) = \sum_{i_1 i_2 = 1}^N \Omega_{j i_1 i_2}^{(1)} T_{i_1} T_{i_2} + \sum_{i_1 i_2 i_3 = 1}^N \Omega_{j i_1 i_2 i_3}^{(2)} T_{i_1} T_{i_2} T_{i_3} \quad (2.7)$$

Коэффициенты в (2.7) имеют структуру, аналогичную (1.5).

$$\Omega_{j i_1 i_2}^{(1)} = \int_S \sum_{p, q=1}^6 b_{pq} (e_{qj} \Pi_{i_1 i_2}^{(p)} + e_{pi_1} \Pi_{i_1 i_2}^{*(q)}) dS \quad (2.8)$$

$$\Omega_{j i_1 i_2 i_3}^{(2)} = \sum_{p, q=1}^6 b_{pq} \Pi_{i_1 i_2}^{(p)} \Pi_{i_1 i_2}^{*(q)} dS, \quad \Pi_{ij}^{*(k)} = \Pi_{ij}^{(k)} + \Pi_{ji}^{(k)}$$

Два последних слагаемых в (2.6) обусловлены начальными неправильностями, причем коэффициенты также имеют структуру, аналогичную (1.5)

$$L_j^{(1)} = \int_S \sum_{p,q=1}^6 b_{pq} f_p e_{qj} dS, \quad L_{ji}^{(2)} = \int_S \sum_{p,q=1}^6 b_{pq} f_p \Pi_{ij}^{*(q)} dS \quad (2.9)$$

В (2.8) и (2.9)  $b_{pq}$  — коэффициенты потенциальной энергии оболочки (1.5). Вариация работы инерционных и диссипативных сил такова:

$$\delta\Pi_1 + \delta\Pi_2 = - \sum_{j=1}^3 (T_j'' + \varepsilon_j T_j') m_j \delta T_j \quad (2.10)$$

где  $\varepsilon_j$  — коэффициент вязкости. При получении вариации потенциальной энергии и работы инерционных сил учитывалась ортогональность собственных форм колебаний.

Вариация работы внешних сил и проекций на нормаль усилий безмоментного докритического состояния имеет вид

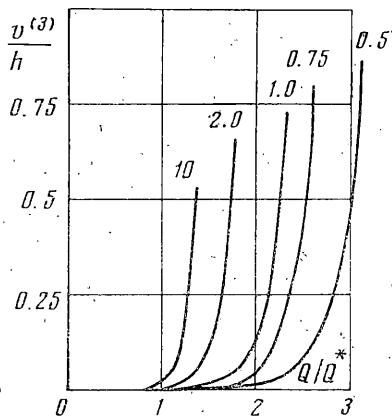
$$\begin{aligned} \delta\Pi_s &= \sum_{j=1}^N F_j^{(1)} \delta T_j + \sum_{i,j=1}^N F_{ji}^{(2)} T_i \delta T_j, \quad F_j^{(1)} = \sum_{n=1}^3 \int_S P^{(n)} u_j^{(n)} dS \\ F_{ji}^{(2)} &= - \int_S \left[ \left( \frac{N_1^{(0)} \partial u_i}{A_1 \partial \alpha_1} + \frac{N_{12}^{(0)} \partial u_i^{(3)}}{A_2 \partial \alpha_2} \right) \frac{1}{A_1} \frac{\partial u_i^{(3)}}{\partial \alpha_1} + \right. \\ &\quad \left. + \left( \frac{N_2^{(0)} \partial u_i^{(3)}}{A_2 \partial \alpha_2} + \frac{N_{12}^{(0)} \partial u_i^{(3)}}{A_1 \partial \alpha_1} \right) \frac{1}{A_2} \frac{\partial u_i^{(3)}}{\partial \alpha_2} \right] dS \end{aligned} \quad (2.11)$$

где  $P_1, P_2, P_3$  — внешние поверхностные силы,  $N_1^{(0)}, N_2^{(0)}, N_{12}^{(0)}$  — усилия докритического безмоментного состояния в нейтральной поверхности.

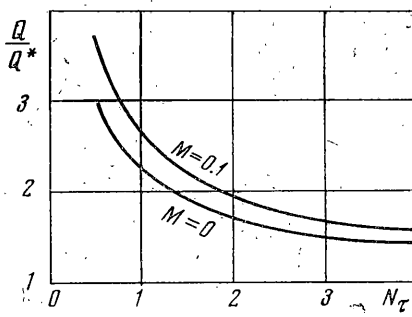
Подставляя (2.6), (2.10), (2.11) в вариационное уравнение (2.1) и приравнивая коэффициенты при одинаковых вариациях, получаем уравнения движения для обобщенных координат

$$\begin{aligned} T_j'' + \varepsilon_j T_j' + \omega_j^2 T_j - \frac{1}{m_j} \sum_{i=1}^N (F_{ji}^{(2)} - \gamma L_{ji}) T_i + \\ + \frac{\gamma}{m_j} W_j(T_1, \dots, T_N) = \frac{1}{m_j} (F_j^{(1)} - \gamma L_j^{(1)}) \quad (j=1, 2, \dots, N) \end{aligned} \quad (2.12)$$

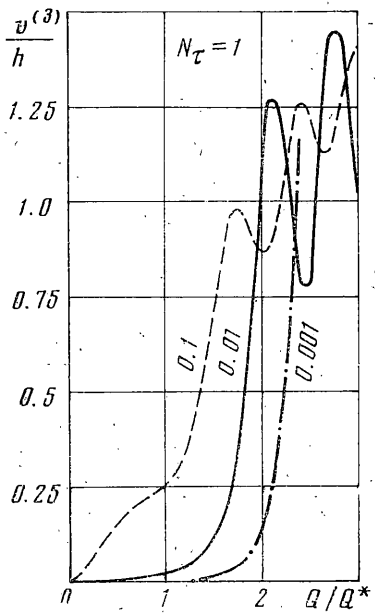
Отметим некоторые особенности системы (2.12). Использование в качестве базисных функций собственных функций линейной задачи позволило получить систему уравнений, разрешенную относительно вторых производных  $T_j''$ , что облегчает применение к ее решению численных методов. При этом решение задачи о вынужденных колебаниях удовлетворяет граничным условиям с той степенью точности, что и собственные функции линейной задачи. Коэффициенты системы (2.12) имеют однотипную структуру и легко поддаются алгоритмизации. При выводе уравнений (2.12) учитывались нормальные и тангенциальные силы инерции.



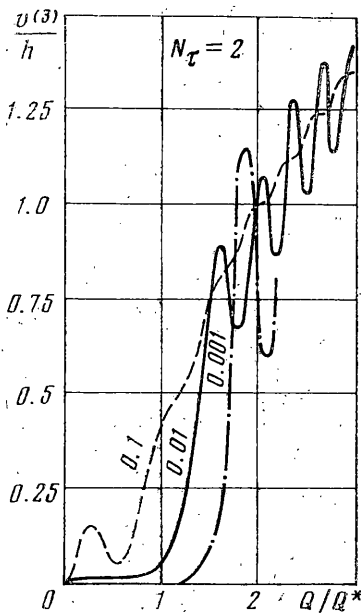
Фиг. 1



Фиг. 4



Фиг. 2



Фиг. 3

3. В качестве примера рассматривалось движение гладкой цилиндрической оболочки с шарнирно подвижными краями и оболочки с сосредоточенной массой, находящихся под действием осевой сжимающей силы, меняющейся во времени. Система уравнений для определения обобщенных координат (2.12) решалась численно методом Кутта – Мерсона. Для удобства выбора скорости нагружения вводилось безразмерное время  $t^* = t/\tau$ , где  $t$  – физическое время,  $\tau$  – период низшего тона колебаний оболочки.

На фиг. 1 показано изменение нормального прогиба гладкой оболочки  $v^{(3)}/h$  в зависимости от отношения  $Q/Q^*$ , где  $Q$  – сжимающая сила, меняющаяся во времени от нуля по линейному закону,  $Q^*$  – верхняя критическая сила для статического нагружения. Числами на графиках показано количество периодов колебания  $N_\tau$ , за которое осевая сжимающая сила возрастает до  $Q^*$ . Расчет гладкой оболочки проводился для начальной неправильности  $w_1 = w_0/h$ .

$$w_1 = 0.001 \sin(\pi\alpha_1/l) \cos 4\alpha_2 \quad (3.1)$$

соответствующей по форме низшему тону колебаний оболочки. Задача решалась с нулевыми начальными данными относительно полных перемещений и скоростей. Параметры оболочки:  $l/R=5.6$ ,  $R/h=380$ .

Из фиг. 1 видно, что с увеличением скорости нарастания нагрузки момент наступления бурного роста прогиба наступает позже; кроме того, при более быстром нагружении наблюдается более глубокое прощелкивание оболочки. При времени нарастания нагрузки  $N_t=10$  величина нагрузки, соответствующей прощелкиванию оболочки, близка к верхней критической  $Q^*$ .

Исследовалось влияние различных по форме неправильностей и числа тонов колебания, используемых в решении, на характер развития прогибов гладкой оболочки. Начальная неправильность задавалась в виде суммы косинусоид, соответствующих трем низшим тонам колебаний

$$w_1 = -0.001 \sin(\pi\alpha_1/l) (\cos 4\alpha_2 + \cos 5\alpha_2 + \cos 6\alpha_2) \quad (3.2)$$

При этом в решении использовались один, три и пять тонов колебания.

Отметим, что для рассмотренных случаев  $N_t=1 \div 10$  разница в величине нагрузки, при которой начинается бурное развитие прогиба, слабо зависит от числа тонов колебаний, используемых в решении, и формы неправильности (3.1) или (3.2) (разница лежит в пределах 3÷7%). Определяющим здесь является наличие в решении и в форме начальной погиби члена, соответствующего форме низшего тона колебаний. Существенное различие в перемещениях наблюдается только в закритической области.

На фиг. 2,3 показано сравнительное развитие прогибов гладкой оболочки для начальной погиби типа (3.1) с различными максимальными амплитудами 0,1, 0,01, 0,001 при одинаковой скорости нарастания сжимающей силы (амплитуды указаны на графиках). Фиг. 2 соответствуют скорости нарастания  $N_t=1$ , фиг. 3 —  $N_t=2$ . Следует отметить, что при большой начальной погиби, равной 0,1, даже с учетом динамичности при  $N_t=2$  бурное развитие прогиба наступает ниже верхней критической нагрузки  $Q^*$ .

Исследовалось движение оболочки с сосредоточенной массой. На фиг. 4 для сравнения даны зависимости условной критической силы  $Q/Q^*$  от скорости нагружения для гладкой оболочки  $M=0$  и оболочки с сосредоточенной массой (в обоих случаях,  $N_t$  — количество периодов низшего тона колебаний гладкой оболочки, за которое нагрузка возрастает до  $Q^*$ ). Масса  $M=0.1 M_1$  располагалась посреди образующей оболочки ( $M_1$  — масса оболочки). В качестве условной критической нагрузки  $Q/Q^*$  принята нагрузка, при которой достигается половина стрелы прощелкивания оболочки. Начальная неправильность задавалась в форме (3.1).

Из фиг. 4 видно, что наличие связанный с оболочкой массы при достаточно быстром нагружении  $N_t=0.5 \div 4$  оказывает стабилизирующее действие на несущую способность оболочки. При сравнительно медленном нагружении ( $N_t$  выше десяти) эффект наличия массы практически не сказывается, и величина критической нагрузки приближается к критической нагрузке  $Q^*$  оболочки без массы для статического случая.

Поступила 22 VIII 1973

#### ЛИТЕРАТУРА

1. Лиходед А. И., Малинин А. А. Колебания подкрепленных оболочек вращения с сосредоточенными массами и осцилляторами. Изв. АН СССР, МТТ, 1971, № 1.
2. Амбарцумян С. А. Теория анизотропных оболочек. М., Физматгиз, 1961.
3. Вольмир А. С. Устойчивость деформируемых систем. М., «Наука», 1967.